

## مشخصه‌یابی و بررسی تأثیر بلورینه شدن بر تخلخل موجود در پوشش متشکل از اکسیدهای فلزی مخلوط

\*آلومینیم/منیزیم/تیتانیم

Abbas Chادق زاده عطار<sup>(۲)</sup> Zohreh Ansari<sup>(۱)</sup> Mصطفی علیزاده<sup>(۳)</sup>

### چکیده

اخيراً از اکسیدهای فلزی مخلوط به دليل خواص مناسب از جمله مقاومت شیمیابی و پایداری حرارتی بالا، به عنوان پوشش‌های مقاوم به خوردگی در کاربردهای بسيار استفاده شده است. در پژوهش حاضر، پژوهشی از اکسیدهای فلزی مخلوط آلومینیم/منیزیم/تیتانیم به روش سل-ژل و با استفاده از فرایند غوطه‌وری، بر روی آلیاژ آلومینیم سری ۱۱۰۰ اعمال شد و تأثیر نسبت‌های مولی متفاوت و عملیات حرارتی بر خواص پوشش‌های به دست آمده بررسی شد. سپس، به منظور بررسی تأثیر بلورینه شدن پوشش‌های ايجاد شده، از آزمون‌های پراش پرتوري ايکس و ريزسختي سنجه و يكروسكوب الکتروني روبيسي استفاده شد. رفتار خوردگي نمونه‌ها، با استفاده از آزمون‌های پتانسیل مدار باز (OCP) و پلاريزاسیون پتانسیودینامیک در محلول ۳٪ درصد وزنی كلرید سدیم بررسی شد. نتایج نشان دادند که پوشش‌های سل-ژل بي‌شكل نسبت به پوشش‌های بلورین، تخلخل کمتر و مقاومت به خوردگی بهتر داشته است. سرعت خوردگی نمونه‌های بلورین نسبت به نمونه‌های بي‌شكل با نسبت‌های مولی ۱:۳ و ۲:۵:۳:۴ از Al/Mg/Ti، به ترتیب ۵ و ۱۳ برابر و درصد تخلخل آنها ۱۷ و ۲۷ برابر شد.

**واژه‌های کلیدی** پوشش اکسیدهای فلزی مخلوط آلومینیم/منیزیم/تیتانیم، روش سل-ژل، ریزسختی و یکرز، آزمون پلاریزاسیون پتانسیودینامیک، تخلخل.

## Characterization and Evaluation of the Effect of Crystallization on the Porosity of Aluminium/Magnesium/Titanium Mixed-Metal Oxides Sol-Gel Coating

Z. Ansari M. alizadeh A. sadeghzadeh atar

### Abstract

Recently, mixed-metal oxides with suitable properties such as high chemical resistance and thermal stability, have been used in a wide range of applications as corrosion resistant coatings. In the present study, Aluminum/Magnesium/Titanium mixed-metal oxides was used as a coating on AA1100 aluminum by sol-gel method and by dip coating process and the effect of various molar fractions and heat treatment cycle on properties of this coating was investigated. In order to study the effect of crystallinity of the coated samples, test samples were characterized using X-ray diffraction (XRD) and Vickers microhardness analyses and their microstructures were examined by Scanning Electron Microscope (SEM). The corrosion behavior of samples were also studied by Open Circuit Potential (OCP) and potentiodynamic polarization techniques in 3.5 wt.% NaCl solution. The results showed that the amorphous sol-gel coatings are less porous representing better corrosion resistance when they are compared with the crystalline coatings. The corrosion rates of the crystalline samples with Al/Mg/Ti molar ratios of 5:1:3 and 2.5:3:4 were 5 and 13 times greater, respectively, than those for the amorphous samples and the porosity contents in the former samples with the same molar ratios were 17 and 27 times greater than those of the latter samples, respectively.

**Key Words** Aluminum/Magnesium/Titanium mixed-metal oxides coating, Sol-gel method, Vickers microhardness, Potentiodynamic polarization test, Porosity.

\* نسخه‌ی نخست مقاله در تاریخ ۹۳/۰۲/۰۶ و نسخه‌ی پایانی آن در تاریخ ۹۳/۰۲/۲۹ به دفتر نشریه رسیده است.

(۱) کارشناس ارشد، گروه مهندسی مواد، دانشکده علوم و فناوری‌های نوین، دانشگاه تحصیلات تکمیلی صنعتی و فناوری پیشرفته‌ی کرمان

(۲) استادیار، گروه مهندسی مواد، پژوهشکده‌ی مهندسی مواد، دانشگاه تحصیلات تکمیلی صنعتی و فناوری پیشرفته‌ی کرمان

(۳) استادیار، گروه مهندسی متالورژی و مواد، دانشکده مهندسی، دانشگاه کاشان

روش به تجهیزات و دمای کاری کمتری نیاز دارد و می‌تواند جواب‌گوی تولید قطعه‌های به‌شکل‌های بزرگ و پیچیده باشد [6-8]. در این تحقیق، ابتدا پوشش‌های اکسیدی فلزی آلومینیم/تیتانیم با نسبت‌های مولی متفاوت از واکنش‌گرها به روش سُل-ژل و فرایند غوطه‌وری، بر روی زیرلايه‌های آلومینیم سری ۱۱۰۰ ایجاد شد. سپس، به منظور بررسی تأثیر اعمال این پوشش‌ها بر خواص خوردگی زیرلايه‌ی آلومینیمی، از آزمون پلاریزاسیون پتانسیودینامیک استفاده شد. رفتار خوردگی نمونه‌ها، بر مبنای جابه‌جایی نمودارهای پلاریزاسیون و تغییرات چگالی جریان خوردگی بررسی شد.

### مواد و روش تحقیق

زیرلايه‌های مورد استفاده برای اعمال پوشش، از جنس آلومینیم سری ۱۱۰۰ با ترکیب شیمیایی ارائه شده در جدول (۱)، تهیه شد و سپس قطعاتی از آن به ابعاد  $3 \times 10 \times 3$  سانتی‌متر، به وسیله‌ی دستگاه برش برش زده شد.

### تهیه‌ی سُل‌ها و آماده‌سازی نمونه‌ها

در این تحقیق، دو سُل (انواع A و B) با نسبت‌های مولی متفاوت (۱:۵ و ۴:۵:۲) از واکنش‌گرها (Al:Mg:Ti) به روش مشروطه‌ی زیر تهیه شد [۹-۱۰]: برای تهیه‌ی سُل‌هایی از اکسیدهای فلزی مخلوط آلومینیم/منیزیم/تیتانیم، ابتدا مقدار بهینه‌ای از نیترات آلومینیم در اتانول حل شد و پس از آن، ایزوپروپوکساید تیتانیم به محلول اضافه شد و مجموعه به مدت زمان ۳۰ دقیقه هم زده شد. پس از آن، استیل استون به منظور پایداری سُل اضافه شد و کل محلول به مدت یک ساعت مخلوط شد (محلول شماره‌ی ۱).

### مقدمه

آلومینیم و آلیاژهای آن امروزه در هزاران سازه‌ی صنعتی مثل سازه‌های دریایی، هواپیما، نیروگاه‌ها و مانند آن استفاده می‌شوند. با وجودی که آلومینیم و آلیاژهای آن به دلیل قیمت پایین، وزن سبک، رسانایی حرارتی و الکتریکی بالا، جایگاه ویژه‌ای از دیدگاه اقتصادی و صنعتی پیدا کرده‌اند، اما برای خوردگی در محیط‌های حاوی یون کلراید، بسیار مستعدند. خوردگی یکی از دلایل عدمهای از دست رفتن مواد و انرژی می‌باشد. طبق گزارشات موجود، ۲۰ درصد از انرژی جهانی و به طور میانگین  $\frac{1}{2}$  درصد از درآمد ناخالص ملی، به دلیل وقوع خوردگی و خسارت ناشی از آن، هدر می‌رود [۱]. یکی از راه‌های جلوگیری از وقوع خوردگی فلزات، کاربرد پوشش است. اعمال پوشش‌های مخلوط فلزی سُل-ژل با پایداری شیمیایی و حرارتی عالی بر روی زیرلايه‌های فلزی، موجب افزایش مقاومت به خوردگی و اکسایش آنها می‌شود. اکسیدهای فلزی، مخلوط یک ترکیب غیرآلی شامل چند نوع اکسید فلزی می‌باشند. با مخلوط کردن اکسیدهای فلزی، می‌توان بر محدودیت‌های لایه‌های اکسیدی تکی غلبه کرد و به‌این ترتیب، به خواص بهتری از جمله مقاومت به خوردگی بالا، رسید [۲]. به عنوان مثال، پوشش‌های مخلوط فلزی سُل-ژل مانند تیتانیا-سریا [۳]، سیلیکا-تیتانیا [۴] و سیلیکا-زیرکونیا [۵]، خواص حفاظتی عالی، پایداری شیمیایی و مقاومت به خوردگی بالایی در محیط‌های خورنده از خود نشان می‌دهند. افزون بر این، روش سُل-ژل یک روش حفاظت سطحی غیرسمی و سازگار با محیط زیست است و جایگزین مناسبی برای سایر روش‌های پوشش‌دهی سمهی (استفاده از پوشش‌های کرومات) است. از طرف دیگر، بیشتر پوشش‌های سرامیکی به وسیله‌ی روش سُل-ژل اعمال می‌شوند، زیرا این

جدول ۱ ترکیب شیمیایی آلیاژ آلمینیم سری ۱۱۰۰ مورد استفاده در این تحقیق (بر حسب درصد وزنی)

Si	Ni	Ti	Zn	Fe	Cu	Mn	Mg	Al
۰/۱۸۳	۰/۰۰۱	۰/۰۰۵	۰/۰۱	۰/۵۵۱	۰/۰۱۲۶	۰/۰۲۲	۰/۰۶۹	۹۹/۱۴۶۴

و پس از آن، در دمای  $450^{\circ}\text{C}$  به مدت دو ساعت در کوره‌ای به همراه دمش گاز آرگون قرار گرفتند. گفتند است که نرخ گرمایش و سرمایش کوره، در حدود  $10^{\circ}\text{C}$  بر دقیقه بود.

برای شناسایی ترکیب‌ها و فازهای موجود در پوشش‌های اکسید فلزی آلمینیم/منیزیم/تیتانیم پس از عملیات حرارتی، بر روی نمونه‌ها آزمون پراش پرتوی ایکس انجام گرفت. برای این منظور، از دستگاه پراش سنج پرتوی ایکس مدل D8 Bruker ساخت شرکت آلمان با ولتاژ ۴۰ کیلوولت و جریان ۴۰ میلی‌آمپر در بازه‌ی زاویه‌ی پراش ( $2\theta$ ) برابر با  $20^{\circ}$  تا  $70^{\circ}$  درجه و اندازه‌ی گام  $0.01^{\circ}$ ، استفاده شد. پرتوی ایکس مورد استفاده از نوع Cuk $\alpha$  با طول موج  $0.154\text{ nm}$  نانومتر بود. افزون بر این، فازشناسی مربوط به الگوهای پراش سنجی پرتوی ایکس، با استفاده از نرم‌افزار Pert X HighScore نسخه‌ی 1.0d انجام شد.

ریزسختی نمونه‌های پوشش داده شده بر حسب ویکرز قبل و پس از عملیات حرارتی، توسط دستگاه STRUERS Duramin بر همه‌ی نمونه‌ها برابر با  $980\text{ میلی‌نیوتن}$  و مدت زمان اعمال آن برابر با  $10\text{ ثانیه}$  انتخاب شد. مطابق با استاندارد ASTM E384-05، از هر نمونه سه بار سختی گرفته شد.

برای مشاهده ریزساختار و مُرفولوژی پوشش‌های اکسیدی مخلوط آلمینیم/منیزیم/تیتانیم قبل و پس از بلورینه شدن، از میکروسکوپ الکترونی روبشی مدل CamScan 2300 MV با رشتۀ‌ی تنگستنی

سپس در یک ارلن جداگانه، نیترات منیزیم در اتانول حل و تا اتحلال کامل نگه‌داری شد ( محلول ۲). در نهایت، محلول‌های ۱ و ۲ با یکدیگر مخلوط شدند و پس از افزودن مقدار کمی اسید نیتریک به محلول، به مدت زمان یک ساعت هم زده شد و سُل نهایی در بستر در بسته قرار گرفت. دمای محلول‌سازی، دمای اتاق در نظر گرفته شد و pH سُل‌ها با نسبت مولی  $(3:1:5)$  و  $(4:3:5:2)$ ، به ترتیب برابر با  $1/6$  و  $1/7$  بود. پس از آن، نوبت به وارد کردن نمونه‌ها درون محلول سُل به روش غوطه‌وری رسید، اما پیش از آن، سطح نمونه‌ها به آماده سازی نیاز داشت.

برای به دست آوردن سطحی صاف و مناسب برای چسبندگی بهتر پوشش، سطح نمونه‌ها تا سمباده‌ی شماره‌ی  $400^{\circ}\text{C}$  پرداخت شد و پس از شسته شدن، خشک شد. سپس، نمونه‌ها به مدت ده دقیقه در حمام اولتراسونیک با محلول  $10\text{ درصد} \text{ H}_{2}\text{O}_2$  سدیم، قرار گرفتند. پیش از قرار گیری در محلول سُل، نمونه‌ها با آب مقطر شستشو داده شدند و به طور کامل خشک شدند. در مرحله‌ی بعد، نمونه‌ها با استفاده از دستگاه پوشش‌دهی غوطه‌وری (Dip Coating) با سرعت تقریبی  $1\text{ میلی‌متر بر ثانیه}$  و درون محلول‌های سُل تهیه شده، فرو برده شدند و پس از خروج، در دمای محیط خشک شدند. عمل غوطه‌وری زیرلایه‌های آلمینیمی درون محلول‌های سُل، چهار بار پشت سر هم تکرار شد. برای بررسی تأثیر بلورینه شدن بر مُرفولوژی و ساختار پوشش‌ها، نمونه‌های پوشش داده شده ابتدا در دمای  $50^{\circ}\text{C}$  به مدت یک ساعت در آون خشک شدند

شامل  $\text{MgAl}_2\text{O}_4$ ,  $\text{Al}_2\text{Ti}$ ,  $\text{Ti}_3\text{O}_5$  و  $\text{Al}_2\text{O}_3$  می‌باشدند. افزون بر این، شدت پیک‌های ظاهر شده برای نمونه پوشش داده شده در سُل A (نمونه‌ی ۳) بیشتر از شدت پیک‌های مربوط به نمونه پوشش داده شده در سُل B (نمونه‌ی ۴) می‌باشد که این می‌تواند به دلیل بهینه بودن نسبت مولی استفاده شده در سُل A نسبت به سُل B باشد.

### ریزسختی سنجی و یکرز

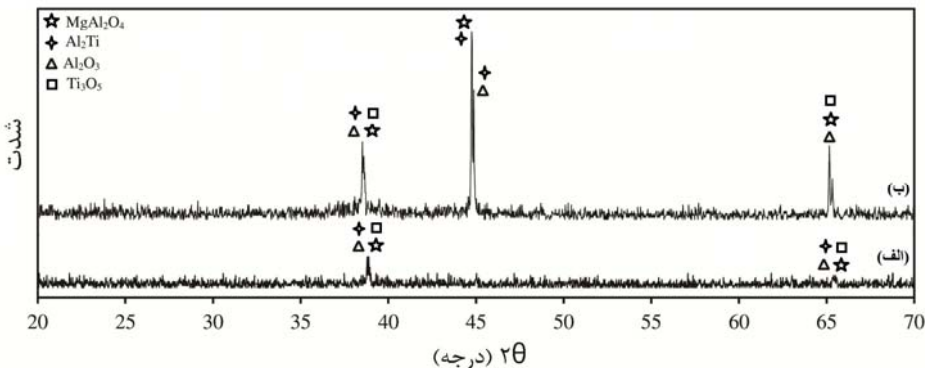
تغییرات ریزساختی برای زیرلایه‌ی آلمینیم فاقد پوشش (نمونه‌ی ۰)، پوشش داده شده در سُل A قبل و پس از عملیات حرارتی (نمونه‌های ۱ و ۳) و پوشش داده شده در سُل B قبل و پس از عملیات حرارتی (نمونه‌های ۲ و ۴)، در شکل (۲) نشان داده شده‌اند. همان‌گونه که مشاهده می‌شود، ریزساختی زیرلایه‌ی آلمینیم پس از پوشش دهی افزایش یافته است. در طول فرایند عملیات حرارتی به علت بلورینه شدن، ریزساختی پوشش‌ها افزایش یافته‌اند، به طوری که این افزایش ریزساختی برای نمونه‌های پوشش داده شده در سُل A به علت بلورینه شدن بهتر پوشش و تشکیل بیشتر فازهای بلورین، بیشتر است. این افزایش ساختی را می‌توان به از بین رفتار ترکیب‌های آلی و بلورینه شدن پوشش نسبت داد. قبل از انجام عملیات حرارتی، پوشش به دلیل دارا بودن ترکیب‌های آلی مانند هیدرات آلمینا و نظیر آن، نرم است و افروزن بر این، بی‌شک است، اما پس از عملیات حرارتی، فازهای سخت بلورین ایجاد شده‌اند و همه‌ی ترکیب‌های نرم آلی از بین رفت‌هاند و در نتیجه، بلورینه شدن باعث اصلاح خواص مکانیکی مانند ریزساختی، می‌شود [11,12].

به عنوان منبع تأمین الکترون کاتد گرم، استفاده شد. برای جلوگیری از ایجاد شارژ الکترونی هنگام مشاهده‌ی ریزساختار، نمونه‌ها به وسیله‌ی دستگاه Ion Sputtering Coater، با طلا پوشش داده شدند. در نهایت، خواص خوردگی نمونه‌ی خام آلمینیم (نمونه‌ی ۰) و نمونه‌های پوشش داده شده‌ی اکسیدی آلمینیم/منیزیم/تیتانیم با نسبت‌های مولی متفاوت بدون عملیات حرارتی (نمونه‌ی ۱ تهیه شده از سُل A و نمونه‌ی ۲ تهیه شده از سُل B) و عملیات حرارتی شده (نمونه‌ی ۳ تهیه شده از سُل A و نمونه‌ی ۴ تهیه شده از سُل B) بررسی شد. ارزیابی رفتار خوردگی همه‌ی نمونه‌ها، با استفاده از پتانسیل مدار باز (OCP) و آزمون پلاریزاسیون پتانسیو‌دانیمیک، به کمک دستگاه پتانسیوستات/گالوانوستات مدل M263A محصول شرکت EG&G در محلول ۳/۵ درصد نمک در دمای محیط و با نرخ روبش ۱ میلی‌ولت بر ثانیه، انجام شد. نمونه‌ها به مدت زمان ۱۲ ساعت در محلول کلرید سدیم غوطه‌ور شدند تا به حالت پایدار برسند و تغییرات کمتر از ۵ میلی‌ولت در ۵ دقیقه، به عنوان حالت پایداری در نظر گرفته شد.

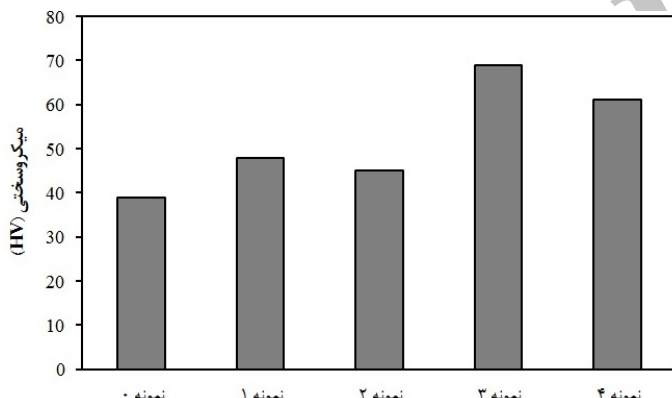
### نتایج و بحث

#### آزمون پراش پرتوی ایکس

شکل (۱)، نتایج آزمون پراش پرتوی ایکس مربوط به نمونه‌ی پوشش داده شده در محلول‌های سُل A و B بعد از عملیات حرارتی را نشان می‌دهد. با انجام عملیات حرارتی بر روی پوشش‌ها، پیک‌هایی در نمودارها ظاهر می‌شوند که حاکی از بلورینه شدن ساختارهای بی‌شک در نتیجه‌ی عملیات حرارتی می‌باشد. نتایج آزمون پراش پرتوی ایکس نشان می‌دهند که فازهای موجود در پوشش‌های عملیات حرارتی شده در دمای  $450^{\circ}\text{C}$  به مدت دو ساعت،



شکل ۱ طیف‌های پراش پرتوی ایکس مربوط به (الف) نمونه‌ی ۴ و (ب) نمونه‌ی ۳.



شکل ۲ نتایج حاصل از آزمون ریزسختی سنجی نمونه‌ها (مقدار و مدت زمان نیروی اعمالی ۹۸۰ میلی‌نیوتن و ۱۰ ثانیه بوده است)

پوشش به طور قابل ملاحظه‌ای مانع از خوردگی فلز در محلول کلرید سدیم شده است. افزون بر این، نمونه‌های پوشش داده شده در سُل A (هم بی‌شکل و هم عملیات حرارتی شده، نمونه‌های ۱ و ۳) مقدار خوردگی کمتری نسبت به نمونه‌های پوشش داده شده در سُل B (هم بی‌شکل و هم عملیات حرارتی شده، نمونه‌های ۲ و ۴) دارند، به‌طوری که نمونه ۱ کمترین مقدار خوردگی و نمونه ۴ بیشترین خوردگی و تعداد حفره‌ها را به نمایش گذاشته‌اند.

#### بررسی رفتار خوردگی

نتایج آزمون پتانسیل مدار باز (OCP). پتانسیل مدار باز مربوط به نمونه‌ی آلومینیم فاقد پوشش و نمونه‌های پوشش دار بی‌شکل و بلورین با نسبت‌های مولی مورد

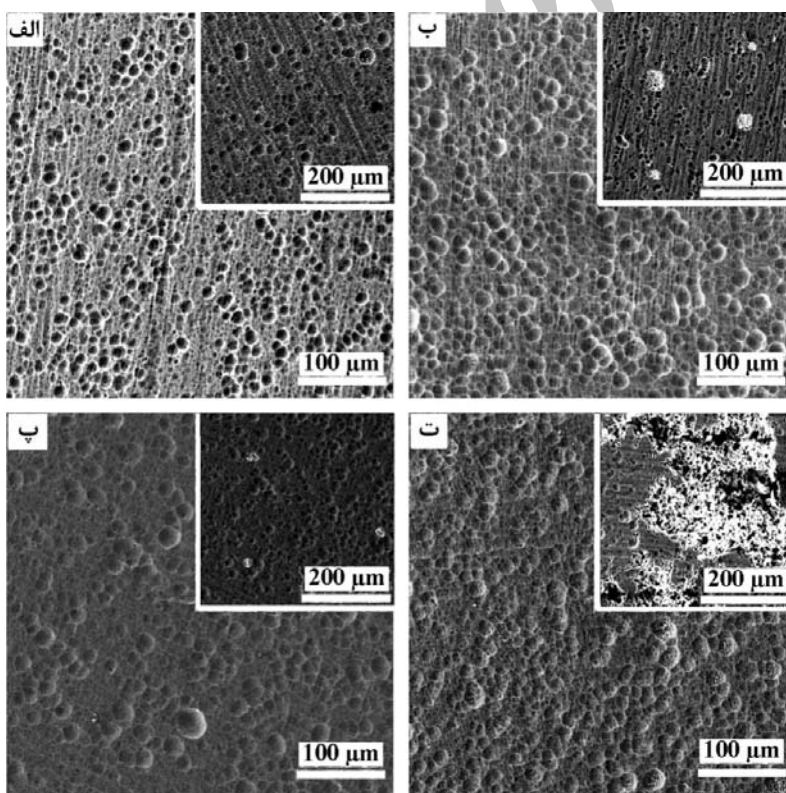
#### بررسی‌های ریزساختاری به‌وسیله‌ی میکروسکوپ الکترونی روبیشی

شکل (۳)، تصویرهای میکروسکوپ الکترونی روبیشی (تصویرهای بزرگ) از نمونه‌های پوشش داده شده حاصل از سُل A (نمونه‌های ۱ و ۳) و سُل B (نمونه‌های ۲ و ۴) را نشان می‌دهد. همان‌طور که در این تصویرها مشاهده می‌شود، نمونه‌های پوشش داده شده در سُل A ساختاری با نامواری‌های سطحی ریزتر و یکنواخت‌تر نسبت به نمونه‌های پوشش داده شده در سُل B دارند. این بیان گر وجود ترکیب بهینه‌ی نسبت‌های مولی واکنش‌گرها در سُل A است.

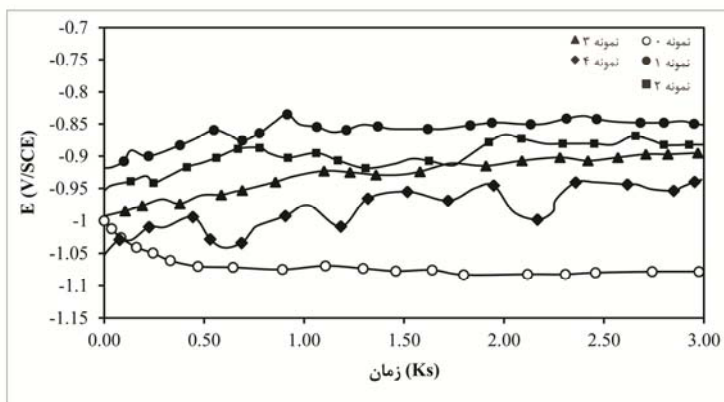
در شکل (۳)، تصویرهای میکروسکوپ الکترونی روبیشی پس از آزمون خوردگی نشان داده شده‌اند (تصویرهای کوچک). این تصویرها نشان می‌دهند که

تماس با محیط‌های آبی تشکیل می‌شود، از لحاظ فیزیکی و شیمیایی دارای ساختار پیچیده‌ای است. این لایه در تماس با آب، هیدراته می‌شود و با گذشت زمان، خواص آن تغییر می‌کند. لایه‌ی اکسیدی  $\text{Al}_2\text{O}_3$  با نفوذ یون‌های آلومینیم از فلز به‌سمت فصل مشترک اکسید/ محلول رشد می‌کند و ترک‌های موجود در لایه‌ی رویین، معمولاً به ذرات بین فلزی در سطح آلومینیم پایه مربوط می‌شوند. از آنجا که لایه‌ی رویین روی این ذرات، دارای خواص حفاظتی کم‌تری می‌باشد، سرعت واکنش‌های آندی و کاتدی در ترک‌ها بیش‌تر است و با قرارگیری آن در محیط حاوی یون‌های کلراید، با جذب و نفوذ و تجمع این یون‌های مخرب بر روی نواقص لایه‌ی اکسیدی، سرعت خوردگی آلومینیم بسیار تسريع می‌شود، تا جایی که پتانسیل مدار باز آن به حدود  $-107$  می‌رسد [13].

نظر، در محلول  $3/5$  درصد کلرید سدیم در دمای اتاق اندازه‌گیری شد و نمودار تغییرات آن در شکل (۴) ترسیم شده است. نتایج به‌دست آمده نشان می‌دهند که با انجام عملیات حرارتی و بلورینه شدن پوشش‌ها، پتانسیل OCP به‌سمت مقادیر منفی‌تر منتقل می‌شود و این نشان‌دهنده‌ی کاهش مقاومت به خوردگی پوشش‌های بلورین در مقایسه با پوشش‌های بی‌شکل است. به عبارت دیگر، به‌علت پایداری بهتر پوشش‌های بی‌شکل، پتانسیل OCP برای آنها به‌سمت مقادیر مثبت‌تر جابه‌جا می‌شود. مثبت‌ترین میزان پتانسیل OCP، برای نمونه‌ی ۱ می‌باشد و این، بیان‌گر عملکرد بهتر این پوشش در مقایسه با سایر نمونه‌ها می‌باشد. منفی‌ترین مقدار پتانسیل OCP مربوط به نمونه‌ی (زیرلایه‌ی آلومینیم فاقد پوشش) به‌دست آمد. در نمونه‌ی آلومینیم فاقد پوشش، لایه‌ی اکسیدی که در



شکل ۳ تصویرهای میکروسکپ الکترونی روبیشی مربوط به نمونه‌ها قبل و پس از آزمون خوردگی؛ (الف) نمونه‌ی ۱، (ب) نمونه‌ی ۳، (پ) نمونه‌ی ۲ و (ت) نمونه‌ی ۴، (تصویرهای کوچک مربوط به پس از آزمون خوردگی در محلول  $3/5$  درصد نمک در دمای محیط و با نرخ روبش ۱ میلی‌ولت بر ثانیه هستند).



شکل ۴ نمودارهای پتانسیل مدار باز (OCP) مربوط به نمونه‌های ۰، ۱، ۲، ۳ و ۴ در محلول  $\frac{3}{5}$  درصد کلرید سدیم (در دمای محیط و به مدت ۳۰۰۰ ثانیه).

عملیات حرارتی، منجر به ایجاد پوششی ناهموار و متخلخل می‌شود. این پوشش ناهموار، با وجود داشتن ترک‌ها و تخلخل زیاد، منجر به ناهمگن شدن پوشش و تغییر شکل خوردگی از حالت یکنواخت به حالت موضعی می‌شود و نمودارهای پلاریزاسیون مربوط به نمونه‌های عملیات حرارتی شده را به سمت نرخ‌های خوردگی بالاتر منتقل می‌کند. با مقایسه‌ی این نمودارها، مشخص می‌شود که با اعمال پوشش بر روی زیرلایه‌ی آلومینیم، نمودارها به سمت چپ منتقل می‌شوند (به سمت چگالی جریان خوردگی کمتر) و نمونه پتانسیل مثبت‌تری نسبت به نمونه‌ی فاقد پوشش می‌یابد. مطابق با نتایج جدول (۲)، نمونه‌ی فاقد پوشش (نمونه ۰) چگالی جریان خوردگی بالاتری دارد ( $10.95 \mu\text{A}/\text{cm}^2$ ). اعمال پوشش اکسیدی آلومینیم/منیزیم/تیتانیم بر روی زیرلایه‌ی آلومینیم، چگالی جریان خوردگی را به میزان قابل توجهی کاهش می‌دهد و این نشان می‌دهد که نمونه‌های پوشش‌دار مقاومت به خوردگی بسیار بهتری نسبت به نمونه‌ی فاقد پوشش دارند. این رفتار را می‌توان به نقش پوشش اعمالی در مسدود کردن مکان‌های فعال و بنابراین، کم کردن مساحت سطح فعال خوردگی نسبت داد. از روند تغییرات پتانسیل‌های خوردگی ارائه شده در جدول (۲) می‌توان دریافت که نمونه‌های پوشش داده شده در محلول‌های سُل A و B بدون عملیات حرارتی (نمونه‌های ۱ و ۲)، پتانسیل خوردگی مثبت‌تری دارند

نتایج آزمون پلاریزاسیون پتانسیوبدینامیک. نمودارهای پلاریزاسیون برای زیرلایه‌ی آلومینیم فاقد پوشش (نمونه ۰)، پوشش داده شده در محلول‌های سُل A و B بدون عملیات حرارتی (نمونه‌های ۱ و ۲) و پوشش داده شده در محلول‌های سُل A و B عملیات حرارتی شده در دمای  $450^\circ\text{C}$  (نمونه‌های ۳ و ۴) در محلول  $\frac{3}{5}$  درصد کلرید سدیم در دمای اتاق، در شکل (۵) نشان داده شده‌اند. نتایج به دست آمده از این آزمون، در جدول (۲) خلاصه شده‌اند.

پس از خشک شدن پوشش در آون در دمای  $50^\circ\text{C}$  (پوشش بی‌شکل)، همه‌ی سازنده‌های آلى که در حفظ رفتار مومسانی پوشش کاملاً مفید هستند، در پوشش سُل-ژل حضور دارند. با توجه به تصویرهای میکروسکپ الکترونی روبشی در شکل (۳)، پوشش بی‌شکل، پوششی با دانه‌بندی ریز و تقریباً یکنواخت و هموار است که به دلیل حفظ گروه‌های آلى خود، رفتار مومسانی مناسبی خواهد داشت. این پوشش بلورین نیست و تنش کششی و ریزترک‌ها در آن، کمینه‌اند. انجام عملیات حرارتی بر روی پوشش در دمای  $450^\circ\text{C}$ ، منجر به بلورینه شدن و حذف گروه‌های آلى پوشش می‌شود. در مجموع، وجود اختلاف بین ضریب انبساط حرارتی پوشش سُل-ژل اکسیدی آلومینیم/منیزیم/تیتانیم و زیرلایه‌ی آلومینیم و انتقال حالت فاز از بی‌شکل به بلورین و از بین رفتن ویژگی مومسانی پوشش با ایجاد تنش کششی و فشاری در طول فرایند

مخرب، خوردگی شدیدی در محل نقص‌های موجود در لایه‌ی اکسیدی و فصل مشترک پوشش/زیرلایه اتفاق می‌افتد [14, 3, 4, 10, 14]. افزون بر این، می‌توان گفت که نمونه‌های پوشش داده شده در سُل A (هم بی‌شکل و هم عملیات حرارتی شده، نمونه‌های ۱ و ۳ مقاومت به خوردگی بهتری نسبت به نمونه‌های پوشش داده شده در سُل B (هم بی‌شکل و هم عملیات حرارتی شده، نمونه‌های ۲ و ۴) دارند. این نتیجه با نتایج مربوط به مطالعات میکروسکوپ الکترونی روبشی (شکل (۳)) مطابقت دارد.

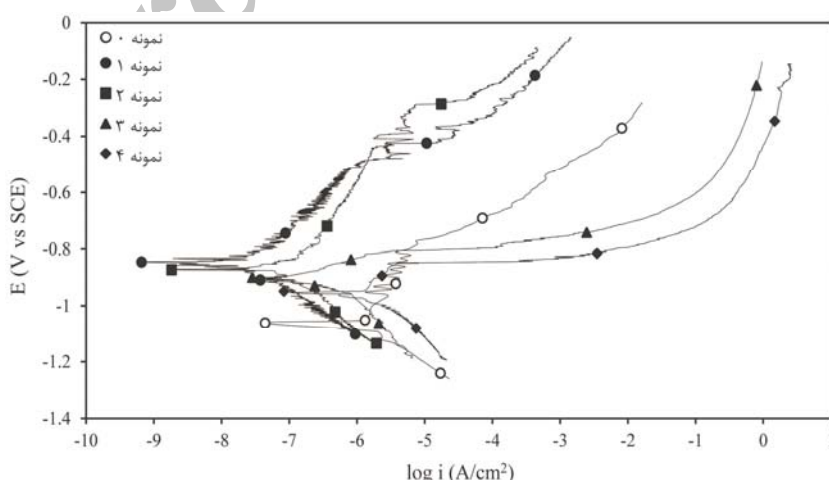
#### محاسبه‌ی درصد تخلخل در پوشش‌ها

روش‌های الکتروشیمیایی و غیر الکتروشیمیایی بسیاری برای محاسبه‌ی درصد تخلخل در پوشش‌های سرامیکی روی زیرلایه‌های فلزی وجود دارند. تخلخل می‌تواند مجموعه‌ای از ترک‌ها، سوراخ‌ها و نقص‌ها باشد.

در این پژوهش، تخلخل موجود در پوشش‌ها با استفاده از رابطه‌ی زیر تخمین زده شد [4]:

$$P = \frac{R_{PS}}{R_p} \times 10^{\left| \frac{\Delta E_{corr}}{\beta_a} \right|} \times 100 \quad (1)$$

و چگالی جریان خوردگی و سرعت خوردگی به‌طور هم‌زمان کاهش یافته‌اند و این برای مقاومت به خوردگی مطلوب است. افزون بر این، مشاهده می‌شود که نمونه‌های ۱ و ۲ در پتانسیل‌های مثبت‌تری وارد منطقه‌ی فرارویین شده‌اند. چگالی جریان خوردگی برای نمونه‌های ۱ و ۲ به ترتیب برابر با  $0.022 \text{ و } 0.071$  میکروآمپر بر سانتی‌متر مربع می‌باشد که با انجام عملیات حرارتی، به مقادیر  $0.131 \text{ و } 0.104$  میکروآمپر بر سانتی‌متر مربع برای نمونه‌های ۳ و ۴ افزایش یافته‌اند. همه‌ی این نتایج ثابت می‌کنند که نمونه‌های پوشش داده شده در محلول‌های سُل A و B در حالت عملیات حرارتی شده در دمای  $450^\circ\text{C}$  (نمونه‌های ۳ و ۴)، مقاومت به خوردگی خوبی ندارند و بلورینه شدن مقاومت به خوردگی پوشش‌ها را کم کرده است. رفتار نامناسب خوردگی نمونه‌های ۳ و ۴ را می‌توان به بلورینه شدن پوشش اکسیدی آلومینیم/منزیم/تیتانیم و انبساط زیرلایه‌ی فلزی آلومینیم در طول فرایند عملیات حرارتی نسبت داد. این پدیده‌ها همراه با تغییر حجم است و باعث ایجاد تنفس و تولید تخلخل و نقص در پوشش می‌شود و به‌این ترتیب، سرعت واکنش‌های آندی و کاتدی در حفره‌ها و ترک‌ها بیشتر می‌شود، به‌گونه‌ای که با قرارگیری در محیطی حاوی یون‌های کلراید، با جذب و نفوذ و تجمع این یون‌های



شکل ۵ نمودارهای پلاریزاسیون نمونه‌های ۰، ۱، ۲، ۳ و ۴ در محلول  $3/5$  درصد کلرید سدیم

(در دمای محیط و با نرخ روبش ۱ میلی‌ولت بر ثانیه).

جدول ۲ نتایج حاصل از نمودارهای پلاریزاسیون مربوط به نمونه‌های ۰، ۱، ۲، ۳ و ۴ در محلول ۳/۵ درصد کلرید سدیم

Sample	$E_{corr}$ (V)	$E_{bd}$ (V)	$i_{corr}$ ( $\mu A/cm^2$ )	Ca. Beta (mV/decade)	An. Beta (mV/decade)	$R_p$ ( $\Omega$ )
۰ نمونه	-۱/۰۷۱	-۰/۹۷۳	۱/۰۹۵	۱۳۳/۸۲۳	۳۵۲/۸۱۲	$۳/۸۵۰ \times 10^4$
۱ نمونه	-۰/۸۵۰	-۰/۴۸۱	۰/۰۲۲	۱۳۸/۲۷۶	۱۷۳/۲۱۳	$۱/۵۱۰ \times 10^7$
۲ نمونه	-۰/۸۷۱	-۰/۴۹۸	۰/۰۷۱	۱۵۰/۳۱۵	۱۶۳/۲۱۳	$۴/۷۴۹ \times 10^0$
۳ نمونه	-۰/۹۰۱	-۰/۷۳۱	۰/۱۳۱	۷۰/۴۷۶	۷۱/۰۰۷	$۱/۱۷۳ \times 10^0$
۴ نمونه	-۰/۹۶۰	-۰/۷۵۳	۱/۰۱۴	۱۱۳/۶۳	۱۹۴/۶۴۷	$۳/۰۷۴ \times 10^4$

جمع آن‌ها در نقص‌های پوشش، به عنوان یکی از عوامل اساسی وقوع خوردگی حفره‌ای محسوب می‌شود. خوردگی حفره‌ای در نتیجه‌ی فرایند هیدرولیز، باعث کاهش موضعی pH در برخی از نقاط می‌شود و به نوعی خود، از فرایند رویین شدن مجدد سطح جلوگیری می‌کند. افزایش پتانسیل اعمالی توسط دستگاه پتانسیواستات به سمت مقادیر مثبت‌تر و در نتیجه‌ی آن، بالا رفتن غلظت یون‌های مهاجم در مناطق سطحی مستعد به حفره‌دار شدن، منجر به تشکیل حفره و افزایش سرعت رشد حفره‌ها می‌شود. جای‌گزین شدن یون کلراید نفوذ کرده به شبکه‌ی اکسیدی با یون اکسیژن درون شبکه‌ی اکسیدی، با افزایش غلظت جاهای خالی یون آلمینیم در شبکه‌ی کاتیونی همراه است و باعث کاهش مقاومت لایه در برابر انتقال بار یونی می‌شود. از طرف دیگر، جذب و نفوذ یون‌های کلر در ساختار اکسیدی و در محل عیب‌های اکسیدی با افزایش هدایت محیط، بیش‌تر می‌شود. با ایجاد پوششی از اکسیدهای فلزی مخلوط آلمینیم/منیزیم/تیتانیم بر روی زیرلایه‌ی آلمینیم، دسترسی یون مخرب کلراید به سطح کم‌تر می‌شود و این باعث می‌شود تا زمان جوانه‌زنی حفره در سطح با تأخیر بیش‌تر و سرعت رشد کم‌تری رخ دهد. این در نهایت، باعث افزایش مقاومت به خوردگی نمونه‌های پوشش‌دار می‌شود [۱۰, ۱۴, ۱۵].

که در آن، مقاومت پلاریزاسیون پوشش،  $R_p$  مقاومت پلاریزاسیون زیرلایه‌ی آلمینیم،  $\beta_a$  شبیه تافل آندی مربوط به زیرلایه و  $\Delta E_{corr}$  تفاوت پتانسیل خوردگی زیرلایه‌ی فاقد پوشش و پوشش‌دار است. نتایج به دست آمده از اندازه‌گیری تخلخل پوشش‌ها، در جدول (۳) خلاصه شده‌اند. نمونه‌های پوشش داده شده در سُل A (هم بی‌شکل و هم عملیات حرارتی شده، نمونه‌های ۱ و ۳) تخلخل کم‌تری نسبت به نمونه‌های پوشش داده شده در سُل B (هم بی‌شکل و هم عملیات حرارتی شده، نمونه‌های ۲ و ۴) دارند و این نشان دهنده‌ی تراکم بهتر پوشش و عایق‌کاری زیرلایه در برابر محلول خورنده است. افزون بر این، با انجام عملیات حرارتی درصد تخلخل محاسبه شده برای نمونه‌های پوشش داده شده در سُل A، به ترتیب از ۰/۶۴ درصد به ۱۰/۸ درصد و برای نمونه‌های پوشش داده شده در سُل B از ۲/۱ درصد به ۵۷ درصد افزایش یافته است. این در حالی است که درصد تخلخل نمونه‌ی پوشش داده شده در محلول‌های سُل A و B پس از عملیات حرارتی، به ترتیب ۱۷ و ۲۷ برابر شده است. یکی از علّت‌های این افزایش تخلخل، مطابق با نتایج بررسی‌های میکروسکپ الکترونی روبشی و پراش پرتوی ایکس، می‌تواند تبدیل فاز بی‌شکل به بلورین و ضریب انساط حرارتی متفاوت زیرلایه و پوشش سرامیکی باشد [۴]. افزون بر این، خوردگی حفره‌ای این پوشش‌ها به علّت انحلال موضعی در حضور آنیون‌های خاص به‌ویژه یون‌های کلراید، قابل بررسی است. جذب سطحی یون‌های مهاجم مانند کلراید، و نفوذ و

جدول ۳ درصد تخلخل پوشش‌ها

درصد تخلخل پوشش	$B_a$ (V)	$E_{پوشش}(E_p)$ (V)	$E_{زیرلایه}(E_0)$ (V)	$R_p$ ( $\Omega$ )	$R_{ps}$ ( $\Omega$ )	شماره نمونه
۰/۶۴	۰/۳۵۲۸۱۲	-۰/۸۵۰	-۱/۰۷۱	۱/۵۱۰×۱۰ <sup>-۶</sup>	۳/۸۵۰×۱۰ <sup>-۴</sup>	نمونه ۱
۲/۱	۰/۳۵۲۸۱۲	-۰/۸۷۱	-۱/۰۷۱	۴/۷۴۹×۱۰ <sup>-۶</sup>	۳/۸۵۰×۱۰ <sup>-۴</sup>	نمونه ۲
۱۰/۸	۰/۳۵۲۸۱۲	-۰/۹۰۱	-۱/۰۷۱	۱/۱۷۳×۱۰ <sup>-۶</sup>	۳/۸۵۰×۱۰ <sup>-۴</sup>	نمونه ۳
۵۷	۰/۳۵۲۸۱۲	-۰/۹۶۰	-۱/۰۷۱	۳/۰۷۴×۱۰ <sup>-۴</sup>	۳/۸۵۰×۱۰ <sup>-۴</sup>	نمونه ۴

این افزایش سختی به از بین رفتن ترکیبات آلی و نرم مانند هیدرات آلمینیا، و بلورینه شدن پوشش نسبت داده شد.

۳- با اعمال پوششی از اکسیدهای فلزی مخلوط آلمینیم/منیزیم/تیتانیم، می‌توان حساسیت آلمینیم سری ۱۱۰۰ را به خوردگی کاهش داد. فرایند پوشش‌دهی، پتانسیل خوردگی زیرلایه‌ی آلمینیم را افزایش داد و باعث کاهش چگالی جریان خوردگی نمونه‌های پوشش‌دار در محلول ۳/۵ درصد کلرید سدیم شد.

۴- با توجه به نمودارهای پلاریزاسیون، بلورینه شدن پوشش منجر به حذف گروههای آلی، افزایش میزان تخلخل و نقص‌ها و در نتیجه، کاهش مقاومت به خوردگی پوشش‌ها شد، به طوری که کمترین جریان خوردگی برای پوشش‌های بی‌شکل به دست آمد و این نتایج مطالعات پتانسیل مدار باز را تأیید کرد.

### تشکر و قدردانی

با تشکر و سپاس از دانشکده‌ی علوم و فناوری‌های نوین و گروه مهندسی مواد دانشگاه تحصیلات تکمیلی صنعتی و فناوری پیشرفته‌ی کرمان که در انجام آزمایش‌های این تحقیق همکاری کردند.

### نتیجه‌گیری

مطالعات ساختاری و ریزساختاری برای بررسی تأثیر بلورینه شدن بر تخلخل موجود در پوشش‌های سُل-ژل اکسیدهای فلزی مخلوط آلمینیم/منیزیم/تیتانیم، بهوسیله‌ی میکروسکوپ الکترونی رو بشی و آزمون پراش پرتوی ایکس، سختی‌سنگی بهوسیله‌ی دستگاه ریزساختی سنج ویکرز و بررسی خواص خوردگی، به‌کمک آزمون پلاریزاسیون پتانسیو دینامیک و پتانسیل مدار باز (OCP) بر روی زیرلایه‌ی آلمینیم فاقد پوشش و پوشش‌دار (بی‌شکل و بلورین) در محلول ۳/۵ درصد کلرید سدیم انجام گرفت. با بررسی نمودارها و تصویرهای به دست آمده، نتایج زیر حاصل شد:

۱- نتایج حاصل از آزمون پراش پرتوی ایکس، حاکی از تغییر ساختار پوشش آلمینیم/منیزیم/تیتانیم با انجام عملیات حرارتی در دمای ۴۵۰ °C به مدت دو ساعت، از بی‌شکل به بلورین همراه با تشکیل فازهای بلورین  $Al_2O_3$ ,  $Ti_3O_5$ ,  $MgAl_2O_4$  و  $Al_2Ti$  داشت.

۲- بلورینه شدن پوشش‌ها، باعث افزایش ریزساختی شد، به طوری که این افزایش برای نمونه‌های پوشش داده شده در سُل A، مطابق با نتایج آزمون پراش پرتوی ایکس، به علت بلورینه شدن بهتر پوشش و تشکیل بیش‌تر فازهای بلورین، قابل ملاحظه‌تر بود.

## مراجع

1. Wang, D. and Bierwagen, G.P., "Sol-gel coatings on metals for corrosion protection", *Progress in Organic Coatings*, Vol. 64, pp. 327–338, (2009).
2. Tantirungrotechai, J., Chotmongkolsap, P. and Pohmakotr, M., "Synthesis characterization and activity in transesterification of mesoporous Mg-Al mixed-metal oxides", *Department of Chemistry and Center of Excellence for Innovation in Chemistry, Microporous and Mesoporous Materials*, Vol. 128, pp. 41–47, (2010).
3. Ghasemi, A., Shahrabi, T., Oskuie, A.A., Hasannejad, H. and Sanjabi, S., "Effect of heat treatment on corrosion properties of sol-gel titania–ceria nanocomposite coating", *Journal of Alloys and Compounds*, Vol. 504, pp. 237–242, (2010).
4. Malekmohammadi, F., Sabour Rouhaghdam, A. and Shahrabi, T., "Effect of heat treatment on corrosion properties of mixed sol gel silica–titania (7–3) coating", *Journal of Non-Crystalline Solids*, Vol. 357, pp. 1141–1146, (2011).
5. Yang, X.F., Tallman, D.E., Gelling, V.J., Bierwagen, G.P., Kasten, L.S. and Berg, J., "Use of a sol-gel conversion coating for aluminum corrosion protection", *Surface and Coatings Technology*, Vol. 140, pp. 44–50, (2001).
6. A.tracton, A., "coating materials and surface coating", Crc press, London, chapter 51 and 56, (2006).
7. Raj, B., mudali, U.K. and Rangarajan, S., "corrosion prevention and control", Alpha science international Ltd., Oxford,U.K, pp. 118–126, (2009).
8. Khaleel, A., Shehadi, I. and Al-Shamisi, M., "Structural and textural characterization of sol-gel prepared nanoscale titanium–chromium mixed oxides", *Journal of Non-Crystalline Solids*, Vol. 356, pp. 1282–1287, (2010).
9. Innocenzi, P., Martucci, A. and Armelao, L., "Low temperature synthesis of  $Mg_xAl_{2(1-x)}Ti_{(1+x)}O_5$  films by sol-gel processing", *Journal of the European Ceramic Society*, Vol. 25, pp. 3587–3591, (2005).
10. انصاری، ز.، علیزاده، م. و صادق زاده عطار، ع.، "سترن و بررسی رفتار خوردگی پوشش اکسیدهای فلزی مخلوط به  $Al_2O_3/MgO/TiO_2$  روشن سل-ژل روی زیرلایه آلمینیم"، نشریه مواد پیشرفته در مهندسی (استقلال) دانشگاه صنعتی اصفهان، (۱۳۹۳).
11. Nemeth, S. and Liu, YC., "Mechanical properties of hybrid sol-gel derived films as a function of composition and thermal treatment", *Thin Solid Films*, Vol. 517, pp. 4888–4891, (2009).
12. Adraider, Y., Hodgson, SNB., Sharp, MC., Zhang, ZY., Nabhani, F., Al-Waidh, A. and Pang, YX., "Structure characterisation and mechanical properties of crystalline alumina coatings on stainless steel fabricated via sol-gel technology and fibre laser processing", *Journal of the European Ceramic Society*, Vol. 32, pp. 4229–4240, (2012).
13. Liu, Y., Wang, Zh. And Ke, W., "Study on influence of native oxide and corrosion products on

- atmospheric corrosion of pure Al", *Corrosion Science*, Vol. 80, pp. 169–176, (2014).
14. Ruhi, G., Modi, O.P., Sinha, A.S.K. and Singh, I.B., "Effect of sintering temperatures on corrosion and wear properties of sol-gel alumina coatings on surface pre-treated mild steel", *Corrosion Science*, Vol. 50, pp. 639–649, (2008).
15. Aballe, A., Bethencourt, M., Botana, F.J., Cano, M.J. and Marcos, M., "Localized alkaline corrosion of alloy AA5083 in neutral 3.5% NaCl solution", *Journal of corrosion science*, Vol. 43, pp. 1657–1674, (2001).
16. Munoz, A.G. and Bessone, J.B., "Pitting of aluminium in non-aqueous chloride media", *Journal of corrosion science*, Vol. 41, pp. 1447–1463, (1999).

Archive of SID